侵染广东辣椒的黄瓜花叶病毒的 CP及 2b基因序列分析

许东林,周国辉,宋晓兵

(华南农业大学 植物病毒研究室,广东 广州 510642)

摘要: 对侵染广东省阳西县田间辣椒的黄瓜花叶病毒(cucum ber mosaic virus CMV)的 CP及 2b基因进行序列分析, 结果表明其 CP基因与 CMV 亚组 I亚组 II各株系之间的核苷酸同源率分别为 90.9% ~93.8% 和 76.1% ~ 76.9%, 氨基酸同源率分别为 92.7% ~ 97.7% 和 72.4% ~ 78.1%; 其 2b基因与 CMV 亚组 I 亚组 II之间的核苷酸 同源率分别为 83 9% ~90 2%和 64 0% ~67. 7%, 氨基酸同源率分别为 79 3% ~85. 7%和 50 5% ~53. 5%. 由此 确认该 CMV分离物属于亚组 I成员. 此外, CMV亚组 I成员的 CP及 2b基因中分别具有一段长为 102 bp及 54 bp 的高度保守序列, 这为转基因诱导寄主转录后基因沉默 (post transcriptional gene silencing PTGS)抗 CM V 育种研究 提供了参考.

关键词: 辣椒: 黄瓜花叶病毒; CP基因; 2b基因; 序列分析 中图分类号: S435. 121. 5 文献标识码: A

文章编号: 1001-411X (2006) 01-0051-04

Sequencing of CP and 2b Gene of Cucumber Mosaic Virus Infecting Pepper in Guangdong Province

XU Dong lin ZHOU Guo hui SONG X iao-b ing (Lab of Plant Virology South China Agric Univ., Guangzhou 510642 China)

Abstract The auam ber mosaic virus (CMV) infecting pepper in Yangxi counts. Guangdong Province (CMV-gd) was confirmed as a subgroup Imember by sequencing its coat protein (CP) gene and 2b gene The results showed that CMV-gd shared CP gene nucleotide identities of 90 9%-93 8% and 76. 1% 76. 9% (deduced am ino acid identities of 92. 7% 97. 7% and 72. 4% 78. 1%) compared with some CMV strains of subgroup I and II respective ly, while 2b gene nucleotide identities of 83 9%-90 2% and $64\ 0\%$ - $67\ 7\%$ (deduced amino acid identities of $79\ 3\%$ - $85\ 7\%$ and $50\ 5\%$ - $53\ 5\%$) respec tively. Furthermore a 102 bp highly conserved sequence in CP gene and 54bp in 2b gene of CMV subgroup Imem berwere found. It was suggested that they would provide use ful information for the antiCMV strategy via transgene induced plant post transcriptional gene silencing (PTGS).

Key words pepper cucum bermosaic virus CP gene, 2b gene, sequencing

黄瓜花叶病毒 (cucumber mosaic virus, CMV)是 流行分布和寄主范围最广泛、造成危害和经济损失 最严重的植物病毒之一,能侵染一千多种单、双子叶 植物,可由数十种蚜虫进行传播[1-3]. 目前有效防治 CMV 所致病害的主要方法是培育和利用抗病品种,

但在辣椒种质资源中,抗 CMV 的育种材料很少,因 此许多研究试图采用基因工程技术培育抗性材料, 目前已有不少成功的报道[16]. 为了在广东省开展 辣椒抗病毒育种工作,笔者对广东省辣椒主产区阳 西县大田中侵染辣椒的 CMV 的分子生物学进行了

收稿日期: 2005 03-26

初步研究,本文报道病毒 CP及 2b基因序列分析结 果.

材料与方法 1

1.1 病害样品采集与叶组织总 RNA抽提

2004年 4月,从广东省阳西县采集表现花叶症 状的辣椒(品种:茂丰 3号)病株叶片. 剪取病叶组 织 100 mg 在液氮下研磨成粉状,采用华美(洛阳)生 物工程公司的总 RNA 抽提试剂盒(I),按其说明书 所示方法,抽提叶组织总 RNA,抽提产物溶解于 100 µ L无 RNA 酶 污染的双 蒸水中, - 20 ℃保存备 用. 以健康无症植株叶组织为阴性对照.

12 RT-PCR 引物设计与合成

根据 GenBank已报道的 CMV 基因组序列, 在其 外壳蛋白(coat protein, CP)基因两侧设计特异引物 对 P₁: 5-TGGATGCTTCTCCGCGAGAT-3、P₂: 5-AT-AGCAGAA CTGC CAA CTCA-3,预期扩增片段大小为 817 bp 在其 2b基因两侧设计特异引物对 P_{3} 5-TTCAGATCGTCGTCAGAGCG-3, P4: 2-CGTTAGCTG-GATGGACAACC-3,预期扩增产物片段大小为 549 bp 上述 2对引物的合成由上海博亚生物工程公司 完成.

1 3 一步 RT-PCR扩增

采用宝(大连)生物工程有限公司的 one step RNA PCR kit(AMV)进行. 15 LL反应体系为: 总 RNA 溶液 1 μ I, 10 \times reaction buffer 1. 5 μ I, 25 mm ol /L M gC $\frac{1}{2}$ 3 μ L, 10 mm ol /L dNTPs 1 5 μ L, RN ase inhibitor (40 U / L) 0 3 L, AMV-Optim ized Tag 0 3 H I, AMV RTase(5 U HL)0 3 H I, 上、下游引物各 1 μL, 以无 RNA 酶污染的双蒸水补足 15 μL 一步 RT-PCR的程序为: 45 [℃] 30 m in 94 [℃] 2 m in 94 [℃] 0.5 m in, 52 °C 0.5 m in, 72 °C 1 m in, 30 个循环; 72 °C $5 \, \mathrm{min}$

1.4 扩增产物回收、克隆及序列测定

RT-PCR扩增产物经 12 g/L琼脂糖凝胶(含 0.5μg mI溴化乙锭)电泳, UVP 凝胶成像系统观察 和照相,根据相对分子质量大小判断目的片段. 采用 UN ID-10柱式通用 DNA 纯化试剂盒 (上海生工生物 工程技术服务有限公司)切胶回收目的 DNA 分子, 克隆于 pMD 18-T载体,由上海博亚生物工程公司采 用双脱氧链末端终止法对重组质粒进行测序.

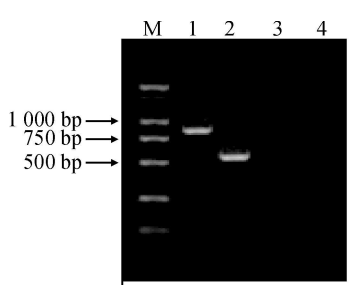
1 5 辣椒 CMV CP及 2b基因序列分析

在 GenBank 中对测序结果进行 blast比对, 判断 其是否为目的序列. 应用 DNA Star 5 01软件包中的

MegAlign软件求算 CP及 2b基因核苷酸序列以及其 推导的蛋白氨基酸序列的同源率、分析CMV广东阳 西县辣椒分离物 (代号: CMV-gd)与目前已报道的 CMV若干代表株系之间的亲缘关系,明确其所属亚 组,并在该亚组 CMV 各成员的 CP和 2b基因序列中 搜索高度保守的区段.

2 结果与分析

以广东阳西县辣椒病叶总 RNA 为模板, 经引物 对 PrP₂、P₃-P₄进行 RT-PCR 扩增,均可获得预期大 小的产物(图 1).



M. DNA marker 1. 病样经 P₁-P₂ 扩增结果; 2. 病样经 P₃ P₄ 扩增 结果; 3 健康样品经 $P_1 P_2$ 扩增结果; 4 健康样品经 $P_3 P_4$ 扩增

M: DNA marker 1: amplification by P - P2 with diseased sample 2 amplification by $P_3 P_4$ with diseased sample, 3 amplification by P_1 P_2 with healthy sample, 4: amplification by $P_3 P_4$ with healthy sample 图 1 侵染阳西县辣椒的 CMV 的 CP和 2b基因片段扩增结果 Fig 1 RT PCR amplification of CP and 2b gene of CMV infec ting peppers from Yangxi county

测序结果表明, P₁-P₂ 的产物序列 (G enBank 登 录号为 AY965892)中包含长为 657 bp的 CMV CP基 因, $P_{\pi}P_{4}$ 的产物序列(GenBank 登录号为 AY965891)中包含长为 336 bp的 CMV 2b基因.

将 CMV-gd的 CP基因及 2b基因序列与其他 CMV分离物进行同源率比较(表 1),显示 CMV-gd 的 CP基因和 CMV亚组 I各株系 CP基因之间的核 苷酸同源率为 90 9% ~93 8%, 推导氨基酸的同源 率为 92 7% ~97. 7%; 与亚组 Ⅱ各株系 CP 基因之 间的核苷酸同源率为 76 1% ~76.9%, 推导氨基酸 的同源率为 72 4% ~78 1%. 而 CMV-gd的 2b基因 与 CMV亚组 I各株系 2b基因之间的核苷酸同源率 为 83 9%~90 2%, 推导的氨基酸同源率为79. 3%~ 85.7%; 与亚组 Ⅱ各株系 2b基因之间的核苷酸同源 率为 64 0% ~ 67. 7%, 推导氨基酸的同源率为 50.5%~53.5%. 此外, CMV CP及 2b基因亲缘关 系分析(图 2)也揭示 CMV-gd与亚组 I各成员关系 较近,而与亚组 Ⅱ各成员的关系较远. 由此,确认 ?1994-2016 China Academic Journal Electronic Publishing Holl属子並纯ht成员erved. http://www.cnki.net

表 1 CMV gd CP基因及 2b基因核苷酸序列及推导氨基酸序列与部分 CMV株系的同源性比较

Tab. 1 Identities of CP and 2b gene nucleotide sequences and deduced am ino acid sequences between CMV gd and some CMV strains

亚组 subgroup	CP基因 /CP gene			2b基因 <i>Q</i> b gene			
	株系 ¹⁾ strain	核苷酸同源率 nucleotide identity ½	氨基酸同源率 am ino acid identity ½	亚组 subgroup	株系 ¹⁾ strain	核苷酸同源率	氨基酸同源率
						nucleotide	am ino acid
						identity 1∕⁄₀	id en tity \mathscr{V}_0
I	A s(X 77 855)	93 0	96. 8	I A	s(A F03 3667)	89. 9	85. 7
	ABI(L36525)	93 0	96. 8		B(U 59740)	84. 4	80. 2
	B2(AB069971)	93 6	96. 8	С	a(AY 429 433)	88. 7	83. 0
	C(D00462)	92 5	95. 4	D	8(AB 17 976 5)	89. 3	85. 7
	Ca(AY 429 432)	92 7	96. 8	F	ny(D00355)	85. 0	81. 1
	CS(D28489)	92 8	96. 3	Ь	xora(U 20218)	89. 9	84. 7
	Fny(U 20668)	93 0	96. 8	ŀ	Cor(U 66287)	85. 3	81. 1
	Kor(L36251)	90 9	92 7	M	B(AF 150731)	90. 2	84. 8
	M f (AJ276481)	93 2	97. 3	M	B-8(D86613)	84. 7	80. 2
	NT9(D28780)	93 8	97. 3	М	f(A J276480)	83. 9	79. 5
	P(X89652)	93 2	96. 8	N	T9(D28779)	86 8	81. 1
	R s(A J5 17802)	93 2	96. 8	Pe	po(AB124835)	84. 1	79. 3
	SD(AB008777)	93 8	97. 7	PR	RC (AF3 14 188)	89. 9	84. 8
	Tfn(Y16926)	93 8	97. 7	R	(AB096214)	85. 0	82 0
	Y(D12499)	92 7	95. 9	R	s(AJ517801)	85. 0	81. 1
	Ixora(U 20219)	93 6	96. 3	:	SD(U86330)	89. 6	84. 8
II	Q(J02059)	76 9	72 4	7	Γfn(Y16925)	86. 8	81. 1
	Sn(U22822)	76 9	78. 1		Y(D12538)	85. 3	80. 2
	Trk7(L15336)	76 1	76. 7	II Al	LS(AJ276588)	67. 7	50. 5
	WL(D00463)	76 7	78. 1		Q(Z21863)	67. 3	51. 5
				T	N(AB176848)	67. 7	50. 5
				Tr	k7(AJ007934)	64. 0	53. 5

1)比较所用的株系序列均来自 GenBank

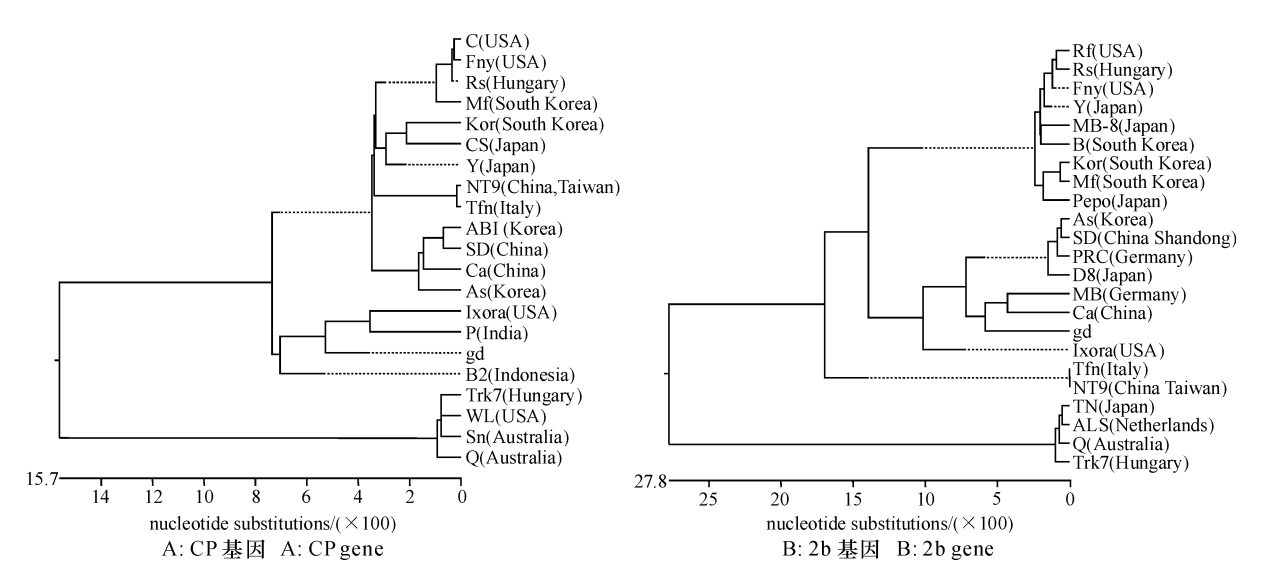


图 2 CMV CP基因(A)及 2b基因(B)的核苷酸序列进化树

Fig. 2 Phylogenetic tree of nucleotide sequences of the CP gene(A) and 2b gene(B) of some CMV strains

对 CMV 亚组 I成员的 CP及 2b基因进行保守 区段 搜索,发现 CP基因中含有一段 102 bp

(+298~+399)的高度保守序列(同源率>95%), 占 CP基因全长的 15.5%; 2b基因中含有一段 54 bp (+96~+149)的高度保守序列(同源率>90%),占 2b基因全长的 16.1%.

3 讨论与结论

由于 CMV 基因组序列变异较大, 株系繁多, 分离自不同地区、不同寄主的 CMV 在生物学和分子生物学上均具很大差别^[2], 使得抗 CMV 育种的难度大为增加, 因此对病毒所属亚组进行鉴定是很有必要的. 本文通过 CP基因及 2b基因序列分析, 明确广东阳西县侵染辣椒的 CMV 属于亚组 I的成员, 对该地辣椒抗病毒育种工作具有一定的指导意义.

通过将 CP基因导入植物基因组内以介导植物 对 CMV的抗性,这在目前已有很多成功的例子,且 所获抗性亦较理想[1468],但也存在一些缺点,例如 高浓度的入侵病毒可能会克服由 CP基因介导的抗 性^[8],植物体内 CP转基因的表达产物可能对入侵病 毒进行"异源包装"以致改变其蚜传特性与寄主范 围¹⁹,以及由于 CP转基因与入侵病毒基因组之间的 重组,有可能使病毒变异为致病力更强的"新毒 株"[10]等. 为了克服以上不足,人们期望通过激活植 物对病毒的转录后基因沉默 (post transcriptional gene silencing PTGS)机制的方法来实现寄主对病毒的抗 性[1],即把基于病毒某个(些)基因序列而构建的、 能够产生发夹状 RNA (hpRNA)的、具有反向重复结 构的 DNA 片段导入寄主基因组内, 一旦有病毒入 侵, hpRNA 将激活植物 PTGS机制,使病毒基因发生 沉默.

诱导 PTGS抗病性所用的转基因序列片段可以短至数十 bp 一般在 200 bp左右即可起到良好的效果. 该序列不需要是完整的 ORF,即不要求具有编码蛋白的能力,因而较为安全;但该序列必须与靶病毒的相应序列高度同源^[12],因此,应当针对病毒最保守的基因组片段来构建具有反向重复序列的转基因片段,以获得对病毒众多变异体均具稳定抗病性的转基因育种材料. 本文分析发现, CMV 亚组 I成员的 CP基因和 2b基因中分别含有一段长为 102 bp和 54 bp的高度保守序列,为辣椒抗 CMV 育种的后续工作提供了重要的参考信息.

CMV 的 2b基因是一种基因沉默抑制子, 其编码的 2b蛋白对寄主的 PTGS机制具有强烈的抑制作用, 在病毒-寄主相互作用研究以及转基因抗病毒植物育种研究中具有重要意义 [13-14]. 通过转基因诱导 PTGS使 CMV 2b基因发生沉默, 使寄主重新获得对

病毒(包括 CMV 以外的其他病毒)的 PTGS 机制, 对辣椒抗病毒育种具有重要意义. 相关研究正在进行中.

参考文献:

- [1] 覃瑞,程旺元.黄瓜花叶病毒研究进展[J].中南民族大学学报.自然科学版,2004,23(2):33 37.
- [2] 徐平东,谢联辉.黄瓜花叶病毒亚组研究进展[J]. 福建农业大学学报,1998 27(1): 82-91.
- [3] 徐平东,周仲驹,林奇英,等.黄瓜花叶病毒亚组 I和 II 分离物外壳蛋白基因的序列分析与比较[J].病毒学 报,1999 15(2): 164-171.
- [4] 徐秉良, 高鸿生, 王旭. 黄瓜花叶病毒和烟草花叶病毒在双抗转基因线辣椒内的繁殖[J]. 中国病毒学, 2002 17(3): 243-247.
- [5] 李华平, 胡晋生, 王敏, 等. 黄瓜花叶病毒衣壳病毒基因转化辣椒研究[J]. 病毒学报, 2000 16(3): 276 278.
- [6] 徐平东,李梅,林奇英.我国黄瓜花叶病毒及其病害研究进展[C]/植物病毒学会.第一次全国植物病毒与病毒病防治研究学术讨论会论文集.北京:农业科技出版社,19971322
- [7] 李华平, 胡晋生, 范怀忠. 黄瓜花叶病毒亚组研究进展 [J]. 中国病毒学, 1994 9(3): 187-194.
- [8] 李爱民, 薛林宝, 张永泰, 等. 黄瓜花叶病毒病防治策略研究进展[1]. 长江蔬菜, 2004 3, 38-42
- [9] AAZZ R TEPFER M. Recombination in RNA viruses and in virus resistant transgenic plant[J]. J Gen V irol. 1999 8Q 1 339 1 346
- [10] 雷万里, 方荣祥, 张国华, 等. 黄瓜花叶病毒互补型载体可与 CP转基因发生重组 [J]. 中国科学: C辑, 2001, 31 (2): 97-105.
- [11] ROVER C.V. VAS M. HOPP H.E. RNA-mediated virus resistance[J]. Current Opinion in Biotechnology 2002

 13. 167-172
- [12] KALANTIDIS K, PSARADAKIS S, TABLER M, et al.

 The occurrence of CM V- specific short RNAs in transgenic tobacco expressing virus induced double stranded RNA is indicative of resistance to the virus[J]. MPM I 2002 15 (8): 826-833.
- [13] 庄木, 王晓武, 谢丙炎, 等. 我国不同 CM V 分离物 2b基 因片段的 RT PCR 扩增及其序列比较[J]. 植物病理学报, 2003 33(2): 146 150
- [14] BRIGNETIG VONNETO LIW X, et al. V iral pathogenicity determinants are suppressors of transgene silencing in *Nicotina bentham iana* [J]. The EMBO J 1998 17 (22): 6739-6746

【责任编辑 周志红】